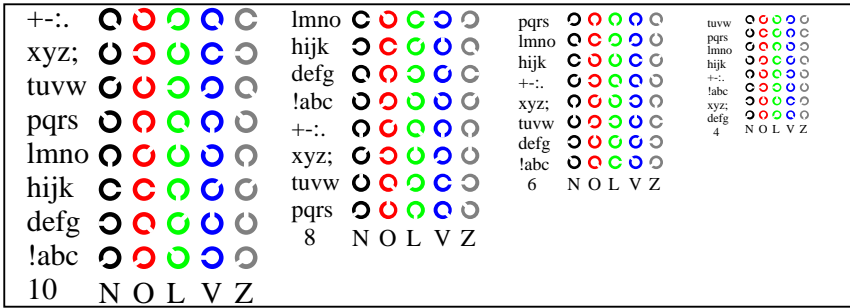
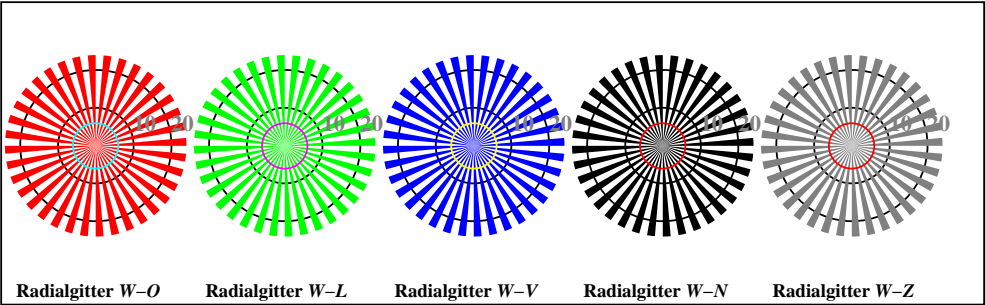


Ee071-1, Bild D4: 16 gleichabständige Stufen $W-O$, $W-L$, $W-V$, $W-N$; PS-Operator olv^* setrgbcolor



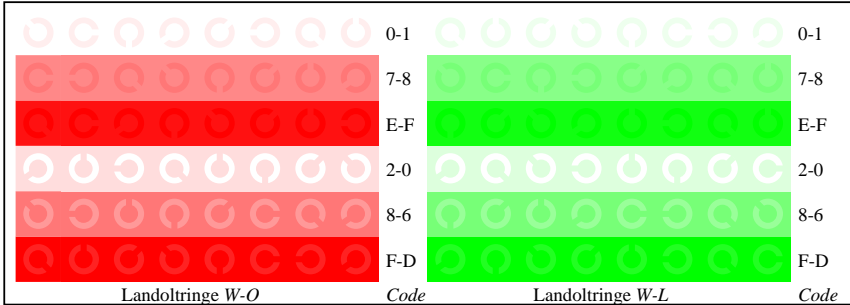
Ee071-3, Bild D5: Schrift und Landoltringe N , O , L , V , Z ; PS-Operator olv^* setrgbcolor



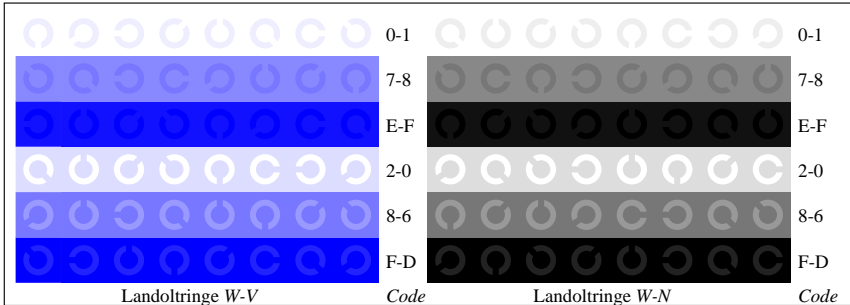
Ee071-5, Bild D2: Radialgitter $W-O$, $W-L$, $W-V$, $W-N$, $W-Z$; PS-Operator olv^* setrgbcolor



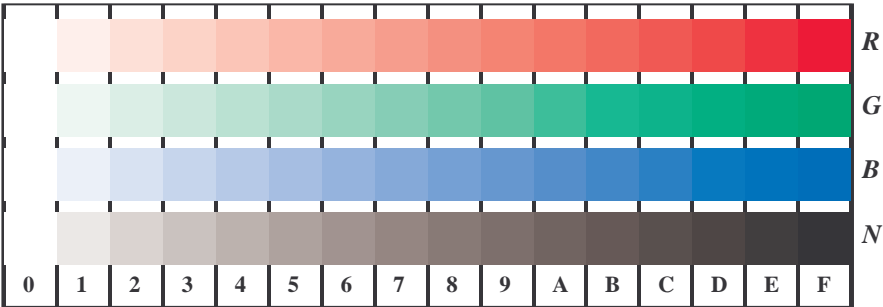
Ee070-7, Bild D3: 14 CIE-Prüffarben sowie 2 + 16 Graustufen; PS-Operator olv^* setrgbcolor



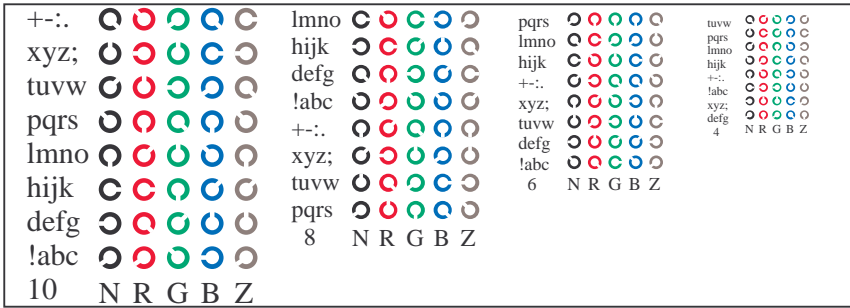
Ee071-5, Bild D6: Landoltringe $W-O$, $W-L$; PS-Operator olv^* setrgbcolor



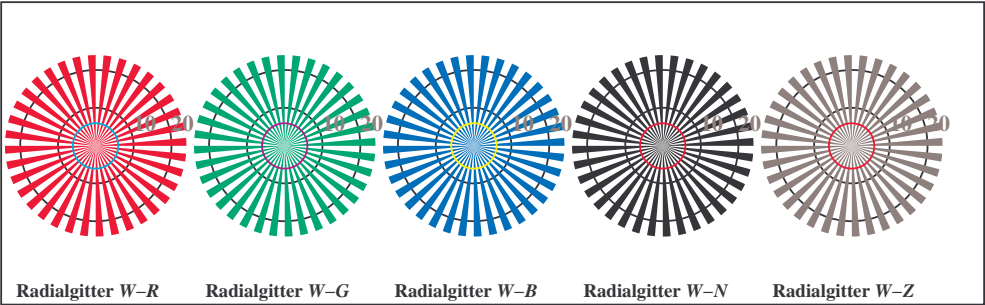
Ee071-7, Bild D7: Landoltringe $W-V$, $W-N$; PS-Operator olv^* setrgbcolor



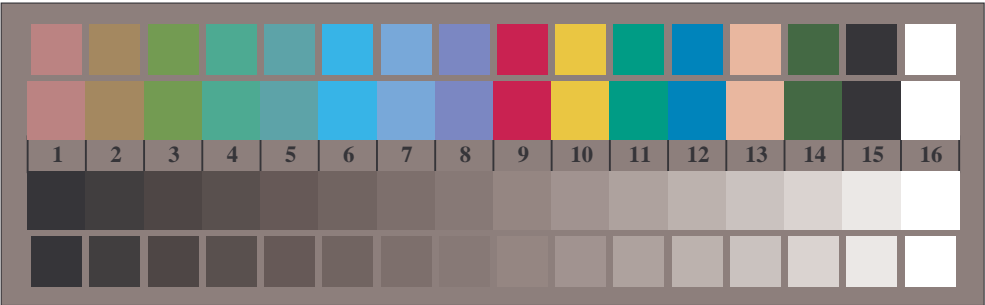
Ee071-1, Bild D4: 16 gleichabständige Stufen $W-R$, $W-G$, $W-B$, $W-N$; PS-Operator $rgb^* setrgbcolor$



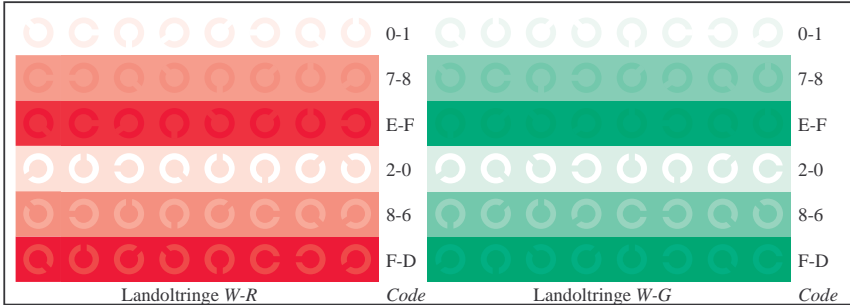
Ee071-3, Bild D5: Schrift und Landoltringe N , R , G , B , Z ; PS-Operator $rgb^* setrgbcolor$



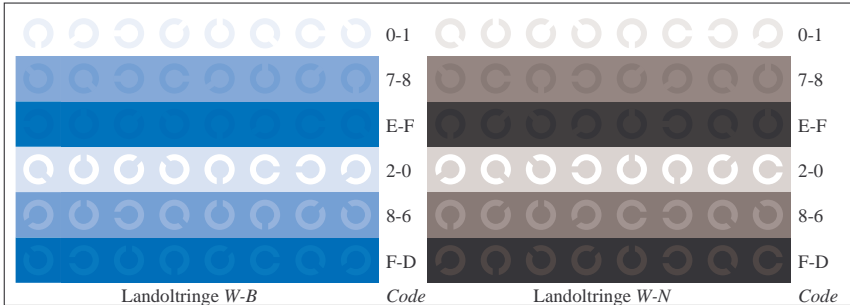
Ee071-5, Bild D2: Radialgitter $W-R$, $W-G$, $W-B$, $W-N$, $W-Z$; PS-Operator $rgb^* setrgbcolor$



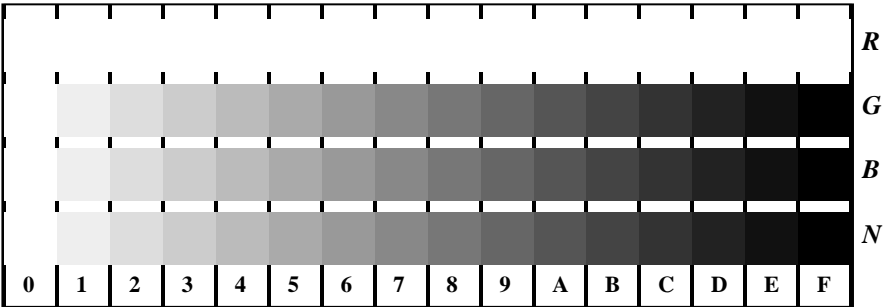
Ee070-7, Bild D3: 14 CIE-Prüffarben sowie 2 + 16 Graustufen; PS-Operator $olv^* setrgbcolor$



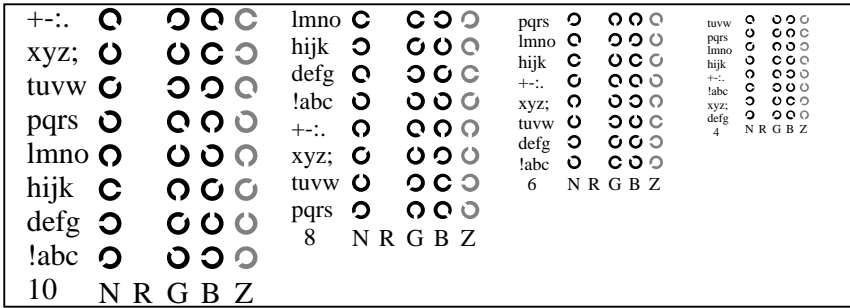
Ee071-5, Bild D6: Landoltringe $W-R$, $W-G$; PS-Operator $rgb^* setrgbcolor$



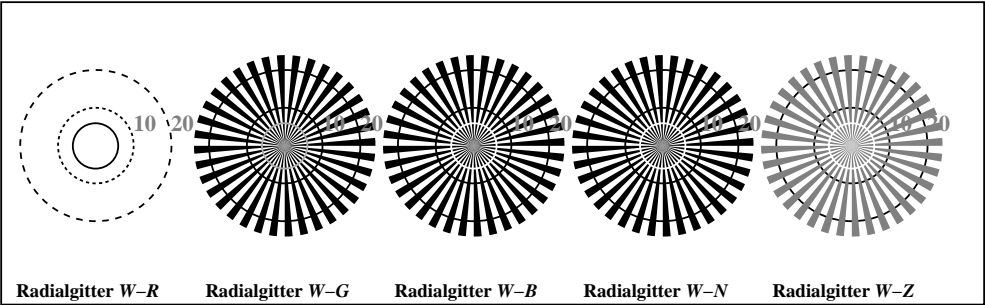
Ee071-7, Bild D7: Landoltringe $W-B$, $W-N$; PS-Operator $rgb^* setrgbcolor$



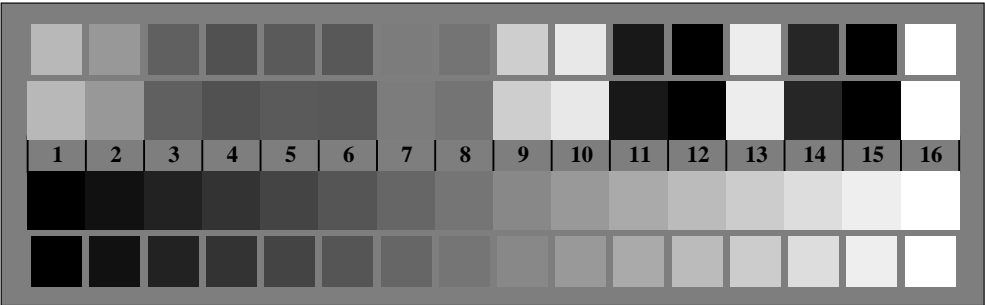
Ee071-1, Bild D4: 16 gleichabständige Stufen $W-R$, $W-G$, $W-B$, $W-N$; PS-Operator $rgb^* setrgbcolor$



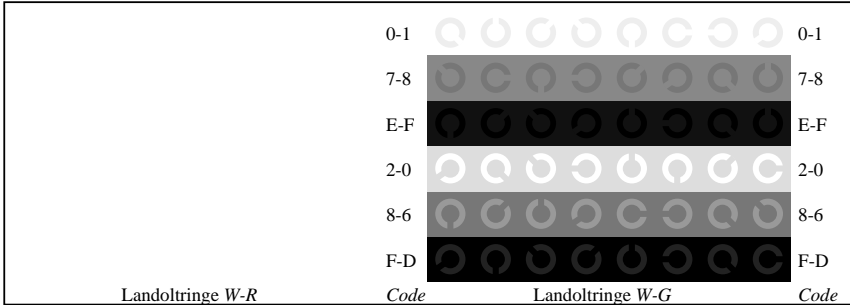
Ee071-3, Bild D5: Schrift und Landoltringe N , R , G , B , Z ; PS-Operator $rgb^* setrgbcolor$



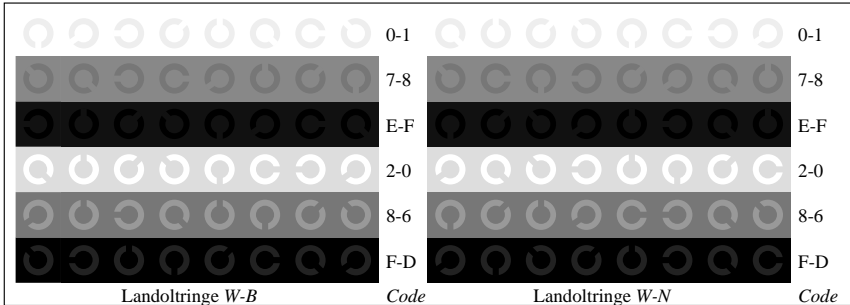
Ee071-5, Bild D2: Radialgitter $W-R$, $W-G$, $W-B$, $W-N$, $W-Z$; PS-Operator $rgb^* setrgbcolor$



Ee070-7, Bild D3: 14 CIE-Prüffarben sowie 2 + 16 Graustufen; PS-Operator $olv^* setrgbcolor$



Ee071-5, Bild D6: Landoltringe $W-R$, $W-G$; PS-Operator $rgb^* setrgbcolor$



Ee071-7, Bild D7: Landoltringe $W-B$, $W-N$; PS-Operator $rgb^* setrgbcolor$

